



# بررسی موقعیت قرارگیری سازه تک درجه آزاد غیرالاستیک با شکل پذیری ثابت در برابر نگاشتهای حوزه نزدیک

شکیبا منفردی، حامد حمیدی\*، حر خسروی

دانشکده مهندسی عمران، دانشگاه صنعتی نوشیروانی بابل، بابل، ایران.

### تاریخچه داوری:

دریافت: ۱۳۹۹/۰۳/۱۳

بازنگری: ۱۳۹۹/۰۶/۰۷

پذیرش: ۱۳۹۹/۰۷/۲۸

ارائه آنلاین: ۱۳۹۹/۰۸/۰۹

### کلمات کلیدی:

سازه تک درجه آزاد

موقعیت سازه نسبت به گسل

حوزه نزدیک

شکل پذیری ثابت

رفتار دوخطی

**خلاصه:** ویژگی های منحصر به فرد و آثار مخترب رکوردهای حوزه نزدیک گسل و ارائه ای راهکارهای مهندسی جهت پیشگیری از خساراتشان مورد توجه بسیاری از پژوهشگران می‌باشد؛ مسأله‌ی موقعیت قرارگیری سازه‌ها در برابر این رکوردها به دلیل کمبود داده ها کمتر مورد توجه قرار گرفته است. از این رو، در این پژوهش تمرکز بر روی تأثیر موقعیت قرارگیری سازه در میزان خسارت‌هایی است که در هنگام زلزله به آن اعمال می‌شود. به منظور بررسی در این زمینه نیازمند رکوردهای زلزله می‌باشیم که به دلیل کمبود داده های شتاب نگاری دستگاهی، می‌توان با استفاده از تکنیک‌هایی جنبش نیرومند زمین را شبیه سازی کرد. با استفاده از پارامترهای گسلش به دست آمده برای زلزله‌ی کوجانیلی ترکیه ۱۹۹۹، ۲۷۳ شتاب نگاشت زلزله با توجه به مختصات مکانی مختلف به وسیله‌ی تابع گرین نظری تولید شد. به منظور ارزیابی عملکرد لزه ای سازه‌ها از نرم افزار OpenSEES و ۹۸۲۸ تحلیل دینامیکی تاریخچه زمانی استفاده شد. سازه‌هایی بررسی شده، تک درجه آزاد غیرالاستیک با شکل پذیری ثابت می‌باشد که رکوردها با توجه به موقعیت قرارگیری سازه نسبت به گسل اعمال گردید و با به دست آوردن پاسخ‌ها، طیف‌های مربوطه به صورت کانتورهای رنگی ترسیم شد. نتایج نشان داد موقعیت پاسخ‌هایی بیشینه در حالت غیرالاستیک تقریباً مشابه حالت الاستیک می‌باشد. لذا به وسیله‌ی یک تحلیل الاستیک که ساده‌تر است می‌توان موقعیت‌هایی بحرانی‌تر را مشخص کرد؛ ایستگاه‌هایی که در پریودهای بالا مقدار بیشینه را نشان دادند دامنه‌ی بیشتر، ایستگاه‌هایی که در پریودهای بالا مقدار بیشینه را نشان دادند پریود پالس بیشتری دارند. همچنین در تعیین موقعیت خواصی شدیدتر هر دو عامل فاصله و زاویه‌ای که سازه مورد نظر از خط گسل می‌گیرد، تأثیرگذار می‌باشند.

## ۱- مقدمه

گسیختگی گسترش می‌یابد و به آن اثر جهت پذیری می‌گویند [۴]. بدیده جهت پذیری پیشرونده<sup>۱</sup> هنگامی اتفاق می‌افتد که گسیختگی به سمت سایت انتشار یابد و جهت لغزش گسل هم به سمت سایت باشد و از طرف دیگر زاویه بین گسل و جهت گسیختگی از کانون به سایت کوچک باشد. در صورتی که سایت در نزدیکی مرکز زلزله باشد، گسترش گسیختگی باعث دور شدن انتشار گسیختگی از سایت می‌شود و جهت پذیری پسروندۀ اتفاق می‌افتد و اگر سایت تقریباً عمود به گسل نسبت به کانون زلزله باشد، محتمل است که جهت پذیری خنثی<sup>۲</sup> را نشان دهد [۷-۴].

به طور کلی یک نگاشت نزدیک گسل، شامل مؤلفه افقی عمود بر گسل، مؤلفه افقی موازی گسل و مؤلفه قائم می‌باشد که در این میان مؤلفه افقی عمود بر گسل، به دلیل دارا بودن اثر جهت‌داری و با توجه به مشاهدات در

پس از وقوع زلزله‌های مخربی از جمله زلزله ۱۹۹۲ لندرز، زلزله ۱۹۹۴ نورثریچ، زلزله ۱۹۹۵ کوبه ژاپن<sup>۳</sup> و زلزله ۱۹۹۹ چیچی تایوان<sup>۴</sup> بود که نگاشتهای نزدیک گسل و خصوصیات منحصر به فرد آنها مورد توجه قرار گرفت. در حوزه نزدیک گسل، جنبش نیرومند زمین تحت تأثیر مکانیزم شکست، جهت انتشار گسیختگی گسل نسبت به سایت، موقعیت ایستگاه ثبت شده در ارتباط با گسل و تغییر مکان پسماند زمین قرار می‌گیرد [۳-۱]. یکی از فاکتورهایی که بر روی حرکت در ناحیه نزدیک گسل تأثیر می‌گذارد، جهت گسیختگی است که در آن گسیختگی از کانون زلزله در امتداد ناحیه

- 1 1992 Landers
- 2 1994 Northridge
- 3 1995 Kobe, Japan
- 4 1999 Chi-Chi, Taiwan

\* نویسنده عهده‌دار مکاتبات: h.hamidi@nit.ac.ir

حقوق مؤلفین به نویسنده‌گان و حقوق ناشر به انتشارات دانشگاه امیرکبیر داده شده است. این مقاله تحت لیسانس آفرینندگی مردمی (Creative Commons License) در دسترس شما قرار گرفته است. برای جزئیات این لیسانس، از آدرس <https://www.creativecommons.org/licenses/by-nc/4.0/legalcode> دیدن فرمائید.



فاکتور شکل پذیری (M) افزایش می‌یابد، تأثیر ویژگی پالسگونه سرعت نزدیک گسل بر روی طیف پاسخ غیرالاستیک کاهش می‌یابد [۱۵]. گیل و همکاران در سال ۲۰۱۰ پاسخ سیستمهای تکدرجه آزاد غیرالاستیک را در برابر حرکات دارای اثرات جهت پذیری پیش‌روندۀ و بدون اثرات جهت پذیری پیش‌روندۀ به وسیله فاکتورهای کاهش مقاومت و استهله به پریود و شکل پذیری به دست آوردنده و نتیجه گرفتند که فاکتورهای کاهش برای جنبش‌های دارای اثر جهت پذیری پیش‌روندۀ و بدون اثر جهت پذیری پیش‌روندۀ به ویژه در محدوده پریودهای پالس ( $T=0.5\text{--}3 \text{ sec}$ )، متفاوت هستند [۱۶]. وانگ و همکاران<sup>۴</sup> در سال ۲۰۱۵، مقادیر طیفی را برای سیستم تکدرجه آزاد و سیستم دو درجه آزاد تک جرم، تحت ۸۹ رکورد دوچهته<sup>۵</sup>، مقایسه کردند. نتایج نشان داد هنگامی که الگو و مقادیر دو نوع طیف انرژی از فاکتور شکل پذیری، پریود و خاک سایت تأثیرگیرد، ویژگی‌های الگوی طیفی متداول برای خاک سایت دارند [۱۷]. مایکل اسکات و بنجامین ماسون<sup>۶</sup> در سال ۲۰۱۷ به منظور بررسی پاسخ سیستم سازه‌ای تحت توالی لرزه‌ای و بار سونامی<sup>۷</sup> طیف پاسخ غیرخطی شکل پذیری ثابت را برای سیستم‌های تکدرجه آزاد الاستوپلاستیک در معرض بارهای لرزه‌ای همراه با بارهای هیدرودینامیک ترسیم نمودند. طیف و معیار شدت به دست آمده نشان داد که بزرگ‌نمایی پاسخ برای سیستم‌های با پریود طبیعی طولانی و ظرفیت شکل پذیری بالا تحت بارهای لرزه‌ای بسیار چشمگیر است [۱۸]. فرانسیسکو<sup>۸</sup> در سال ۲۰۱۹ نسبت جابه‌جایی غیرخطی شکل پذیری ثابت سیستم‌های تکدرجه آزاد مرکزگرا<sup>۹</sup> را با دو سطح ظرفیت استهلاک انرژی<sup>۱۰</sup> محاسبه کرد و با پاسخ سیستم تکدرجه آزاد پلاستیک دوخطی<sup>۱۱</sup>، کلاف<sup>۱۲</sup> و هیسترزیس تاکدا<sup>۱۳</sup> مقایسه نمود. همچنین تخمین تحلیلی نسبت‌های جابه‌جایی غیرالاستیک شکل پذیری ثابت برای مقادیر میانگین و ۹۰ درصد بر حسب پریود اولیه، سطح شکل پذیری و نسبت سختی بعد تسلیم پیشنهاد شد [۱۹]. مدهو گیریجا و گوپتا<sup>۱۴</sup> در سال ۲۰۲۰ تغییرمکان‌های پسماند<sup>۱۵</sup> را برای نوسانگرهای تکدرجه آزاد الاستیک-پلاستیک کامل با کمک مدل

برخی زمین لرزه‌ها در غالب موارد بیشترین تأثیر را در پاسخ سازه‌ها دارد و اثر آن عمده‌تاً غالب می‌شود [۸]. اثرات رکوردهای حوزه نزدیک بر سازه‌ها در تحقیقات مختلفی بررسی شده است. به طور مثال با بررسی خسارات زلزله‌ی بم (۲۰۰۳) مشاهده شده است قابهای خمی که در جهت عمود بر گسل بودند متحمل خسارات شدید شامل تغییرشکل جانبی زیاد در طبقه‌ی همکف شدند؛ ولی قابهایی که در جهت موازی گسل بودند تحت نیروی قابل توجهی قرار نگرفتند [۹، ۱۰ و ۱۱].

در این پژوهش به منظور بررسی موقعیت قرارگیری سازه در پاسخ‌های آن در برابر رکوردهای حوزه نزدیک از سازه تکدرجه آزاد غیرالاستیک با شکل پذیری ثابت استفاده شده است. پژوهش‌های متعددی در طول سالیان گذشته در ارتباط با پاسخ سازه‌های تکدرجه آزاد شکل پذیری ثابت انجام گرفته است [۱۲، ۱۱ و ۱۰]. به عنوان مثال در سال ۲۰۰۰، باائز و میراندا از ۸۵ رکورد نزدیک گسل برای محاسبه نسبت جابه‌جایی غیرالاستیک شکل پذیری ثابت استفاده کردند. نتایج نشان داد که به طور میانگین رکوردهای نزدیک گسل، موجب ایجاد نسبت‌های جابه‌جایی غیرالاستیک بزرگتری نسبت به نتایج رکوردهای دور از گسل که مربوط به مطالعه قبلی شان بود، شده است [۱۲]. مک رائی<sup>۱</sup> و همکاران در سال ۲۰۰۱ اثرات جنبش زمین نزدیک گسل را در پاسخ غیرخطی سازه‌هایی که به صورت نوسانگرهای تکدرجه آزاد با پریودهای محدوده  $0.05\text{--}0.1 \text{ sec}$  ثانیه و شکل پذیری هدف  $2\text{--}6 \text{ MDR}$  شدند، بررسی کردند. نتایج نشان داد که تقاضای غیرالاستیک برای سایتهای نزدیک گسل افزایش یافت و نوسانگر پریود کوتاه خیلی تحت تأثیر جنبش نزدیک گسل قرار نگرفت [۱۳]. چوپرا و چینتپاکدی<sup>۲</sup> در سال ۲۰۰۱ میانگین نسبت جابه‌جایی غیرالاستیک شکل پذیری ثابت را برای سیستمهای تکدرجه آزاد الاستوپلاستیک محاسبه کردند. نتایج نشان داد هنگامی که نسبت جابه‌جایی غیرالاستیک برای پریودهای نرمالایز شده جنبش نیرومند با توجه به پریود گوشه  $T_c$ ، به عنوان نماینده‌ی پاسخ الاستیک سیستم تکدرجه آزاد می‌باشد؛ نسبت‌های جابه‌جایی غیرالاستیک شکل پذیری ثابت، روند خیلی مشابه با آنهایی دارند که برای زمین لرزه‌های دور از گسل محاسبه شدند [۱۴]. ماورودیس<sup>۳</sup> و همکاران در سال ۲۰۰۴ با بررسی پاسخ الاستیک و غیرالاستیک سیستمهای تکدرجه آزاد در برابر زمین لرزه‌های دستگاهی و مصنوعی نتیجه گرفتند که هنگامی که

4 Wang

5 bidirectional

6 Scott and Mason

7 sequential earthquake and tsunami loading

8 Francesco

9 self-centering

10 bilinear plastic

11 Clough

12 Takeda hysteresis

13 Madhu Girija and Gupta

14 residual displacement

1 MacRae

2 Chopra and chintapakdee

3 Mavroeidis

جایی ماندگار در برخی از رکوردهای این زلزله به صراحت دیده شد. گسیختگی سطحی در این زلزله در حدود ۱۴۵ کیلومتر امتداد یافت که حدود ۹۵ کیلومتر به سمت شرق مرکز زلزله و حدود ۵۰ کیلومتر به سمت غرب مرکز زلزله بود [۲۶]. گسیختگی گسل کوچائیلی وضعیت خاصی داشته است و به صورت انتشار گسیختگی دوطرفه نامتقارن اتفاق افتاد. گسیختگی اول، گسترش گسیختگی به طرف بالا و غرب مرکز زلزله در طول ۱۰ ثانیه ابتدایی که ۲۰ کیلومتر مساحت گسل در طول لغزش گسل و ۱۵ کیلومتر در طول عمق گسل را شامل شد و گسیختگی دوم ۷ ثانیه پس از شکست اولیه، یک جانبی به سمت شرق مرکز زلزله گسترش یافت که مقدار این گسیختگی به فاصله ۵۰ کیلومتر از مرکز زلزله و عمق حدود ۸ کیلومتر رسید [۲۷]. در این پژوهش برای شبیه‌سازی نگاشتها از پارامترهای گسلش به دست آمده از تحقیق حمیدی و همکاران در سال ۲۰۱۸ [۲۵] وتابع تئوری گرین استفاده شد که برای یافتن پارامترهای مربوط به گسلش به روش مهندسی معکوس، از روش الگوریتم ژنتیک چنددهفه استفاده شد و در نتیجه ۲۷۳ نگاشت زلزله به دست آمد. برای به دست آوردن پارامترهای لرزه خیزی زلزله کوچائیلی ۱۹۹۹ ایستگاه یاریمکا (YPT) انتخاب شد. خاک استفاده شده و مدل‌های سرعت برای ایستگاه یاریمکا آمیزی بودند که توسط سکیگوچی و ایواتا<sup>۲</sup> گزارش شدند [۲۶]. تابع لنزش مثلث‌شکل برای هر تکه گسل به صورت توزیع لغزش در طول گسل ( $4 \times 20$  تکه گسل)، برمبنای یاگی و کیکوچی اجرا شد [۲۷]. شکل ۱ مختصات ایستگاهها را نشان می‌دهد. فاصله ایستگاهها هم در جهت طولی و هم در جهت عرضی ۴ کیلومتر می‌باشد. ۱۳ ردیف در جهت X و ۲۱ ردیف در جهت Y و طول گسل بررسی شده ۱۰۲ کیلومتر است.

شکل ۲ تاریخچه‌ی زمانی شتاب را برای چند ایستگاه شبیه‌سازی شده در موقعیت‌های مختلف به عنوان نمونه نشان می‌دهد. شماره رکوردهای استفاده شده بر مبنای شماره‌گذاری نشان داده شده در شکل ۱ می‌باشد. به عنوان نمونه شکل ۳-الف تاریخچه‌ی زمانی شتاب و شکل ۳-ب تاریخچه زمانی سرعت می‌باشد. با توجه به نگاشت موجود، می‌توان حضور پالس را در نگاشت نزدیک گسل مشاهده کرد.

### ۳- مدل‌سازی سیستم تکدرجه آزاد دوبعدی غیرالاستیک در حالت ثابت

استفاده از سیستم‌های تکدرجه آزاد در مباحث تحلیلی به منظور بررسی تئوری و بنیادی سازه‌ها همواره مورد توجه پژوهشگران بوده است [۱۴، ۱۵]

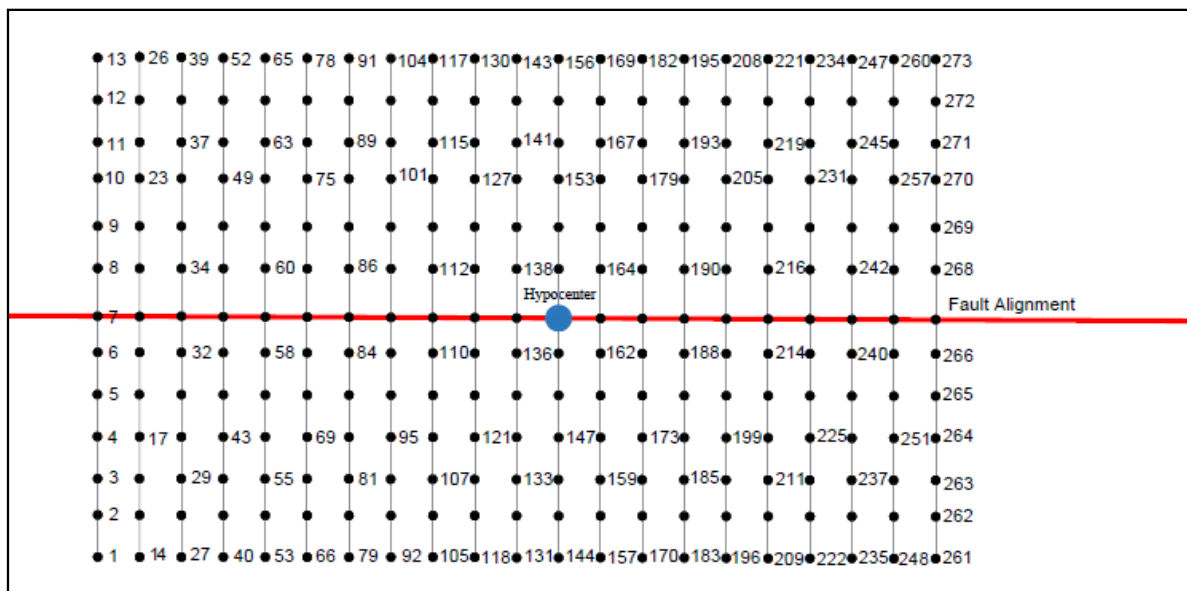
هیسترزیس دوخطی برای سازه‌های فولادی تخمین زندن. مطابق این مدل، تعییرات جابه‌جایی پسماند با پریود اصلی به شرایط سایت وابسته است و جابه‌جایی‌های پسماند به ضریب شکل پذیری در نزدیکی پذیری پایین حساس‌تر هستند [۱۱]. دونگ<sup>۱</sup> و همکاران در سال ۲۰۲۰، به بررسی نسبت جابه‌جایی غیرالاستیک سیستم تکدرجه آزاد مرکزگرا با مدل هیسترزیک پرچمی شکل در معرض زمین لرزه‌های نزدیک گسل پالس گونه پرداختند. به منظور مقایسه، طیف زمین لرزه دور از گسل نیز محاسبه شد. نتایج نشان داد زمین لرزه‌های پالس گونه منجر به نسبت جابه‌جایی خیلی بزرگتری در مقایسه با رکورد دور از گسل به ویژه در ناحیه طیفی شتاب ثابت شده است [۲۰].

در پژوهش‌های انجام شده در سالهای اخیر به بررسی ویژگیهای نگاشتها ای حوزه نزدیک و اثرات آنها بر روی پاسخ سازه‌ها پرداخته شد. ولی در این بین بحث موقعیت قرارگیری سازه‌ها به ندرت مورد توجه قرار گرفت. عمدۀ پژوهش‌ها در ارتباط با اثر دوران مؤلفه‌های زلزله بوده است [۲۱-۲۴]. بدیهی است که فاصله و زاویه‌ای که یک سازه از خط گسل و محل مرکز زلزله میگیرد بر روی پاسخهای آن تأثیرگذار است، از این رو، در این پژوهش تمرکز بر روی تأثیر موقعیت قرارگیری سازه در میزان خسارتی است که در هنگام زلزله به آن اعمال می‌شود. سازه‌های مورد بررسی، سازه‌های مشابه قرار گرفته در ایستگاه‌های مختلف، در حالت تکدرجه آزاد غیرالاستیک شکل پذیری ثابت می‌باشند.

به منظور بررسی تأثیر موقعیت سازه بر روی پاسخهای با توجه به کمبود داده‌های شتابنگاری واقعی می‌توان با استفاده از تکنیکهای شبیه‌سازی موجود، جنیش نیرومند زمین را شبیه‌سازی کرد [۸]. در این پژوهش با استفاده از پارامترهای گسلش به دست آمده از تحقیق حمیدی و همکاران برای زلزله کوچائیلی ترکیه ۱۹۹۹ [۲۵، ۲۷۳] رکورد زلزله با توجه به مختصات مکانی مختلف به وسیله‌ی تابع گرین تئوری تولید و اثرات موقعیت سازه نسبت به زلزله در قالب کانتورهای  $S_d$ ،  $S_a$  برای سیستم تکدرجه آزاد غیرالاستیک شکل پذیری ثابت برای دو فاکتور شکل پذیری  $\mu = 2$  و  $\mu = 3$  ارزیابی شد و در پایان نتایج حاصل از این دو حالت با نتایج سیستم الاستیک مقایسه شد.

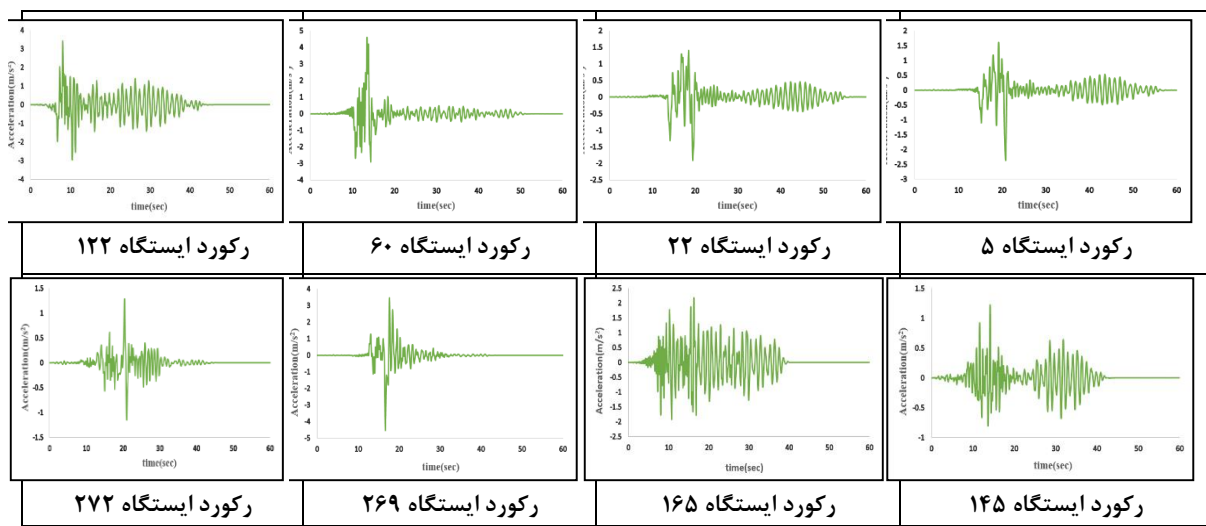
### ۲- رکوردهای مورد استفاده در تحلیل‌ها

یکی از زلزله‌های معروف دارای رکوردهای ثبت شده در حوزه نزدیک گسل، زلزله‌ی کوچائیلی ترکیه ۱۹۹۹ می‌باشد که اثرات جهت‌پذیری و جابه



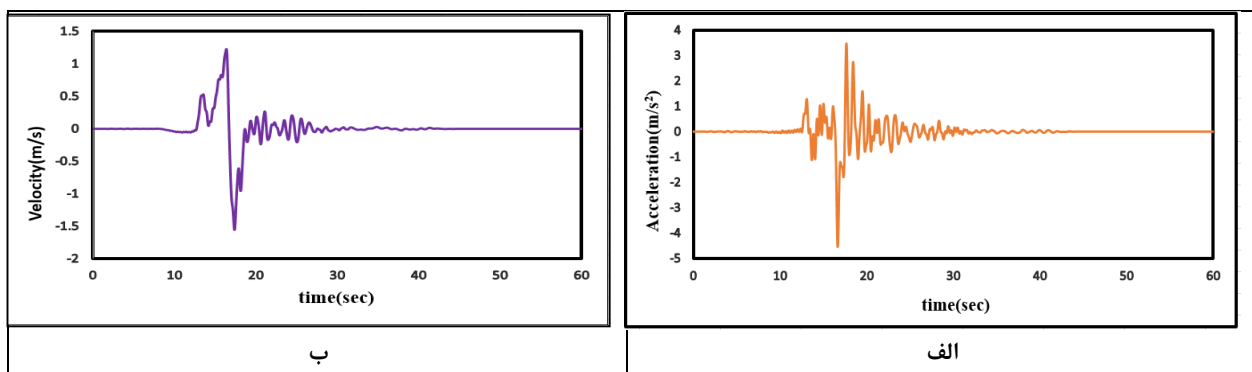
شکل ۱. خط گسل و ایستگاه هایی که رکوردهای این پژوهش تولید و استفاده شده است (اقتباس از مرجع [۲۵])

Fig. 1. Fault alignment and the station number used in this study [25]



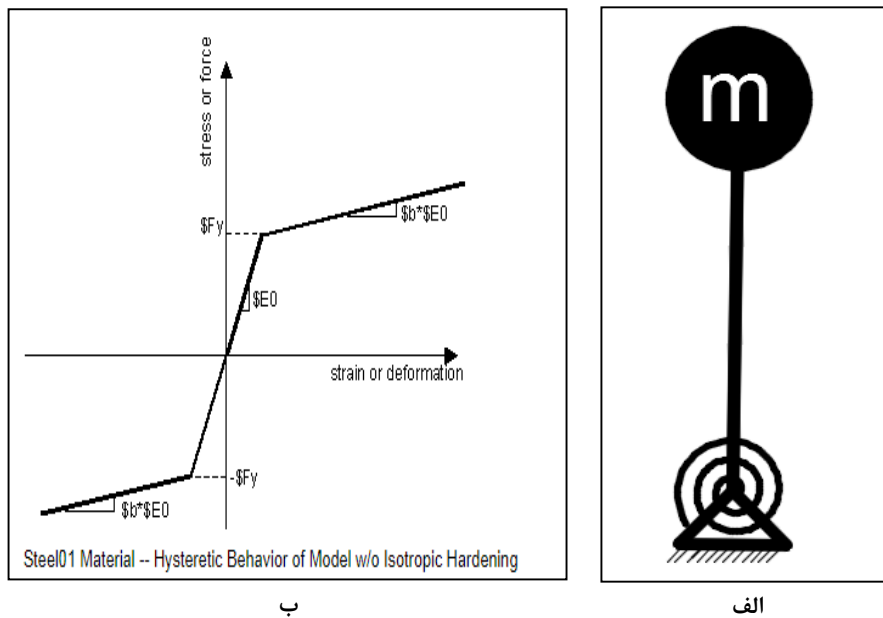
شکل ۲. تاریخچه زمانی شتاب برای چند ایستگاه ثبت زلزله

Fig. 2. Acceleration time history for some selected stations



شکل ۳. تاریخچه زمانی ایستگاه ۲۶۵، الف) تاریخچه زمانی شتاب و ب) تاریخچه زمانی سرعت

Fig. 3. Time history for station no. 265.



شکل ۴. الف) سازه تکدرجه آزاد مدل شده به صورت دو بعدی در نرم افزار، ب) منحنی رفتار فولاد ۱ [۳۱] Steel ۱

Fig. 4. a) The SDOF structure modeled in the software, b) Hysteretic behavior of Steel01 material

پلاستیک کامل<sup>۲</sup> یعنی با سخت شوندگی کرنشی<sup>۳</sup> (شیب خط دوم در نمودار  $M-\epsilon$ - $\dot{\epsilon}$  صفر در نظر گرفته شد. مقدار  $\gamma$  برابر ۵ درصد به عنوان میرایی سیستم در نظر گرفته شد.

برای به دست آوردن پاسخها در حالت شکل پذیری ثابت از دو کد

۳۰-۲۸]. سازه تکدرجه آزاد مدل شده در این تحقیق شامل یک جرم، یک ستون صلب با رفتار تیر-ستون الاستیک و یک فرمان طول-صفرا در پای آن می باشد. شکل ۴-الف سازه تکدرجه آزاد مدل شده در نرم افزار OpenSEES [۳۱] را نشان می دهد.

رفتار فولاد مصالح به صورت Steel01 (شکل ۴-ب) و الاستیک-

2 Elastic perfectly plastic

3 Strain hardening

1 Zero length

برای فهمیدن اینکه  $\mu$  به  $\mu_{target}$  رسید یا خیر، باید یک حد رواداری تعريف شود که هر وقت نسبت  $\frac{\mu}{\mu_{target}}$  به یک حدود مورد قبولی رسید معلوم شود که شکل پذیری مورد نظر به دست آمده است. در اینجا به این منظور، رابطه (۵) تعريف شد.

$$\left[ 1 - \left( \frac{\mu}{\mu_{target}} \right) \right] \leq 0.01 \quad (5)$$

در بررسی شرط رابطه (۵) دو حالت پیش می آید:

(الف) اگر شرط مورد قبول باشد، یعنی  $\mu$  به  $\mu_{target}$  رسیده است و می توان سایر خروجی های مدنظر را هم به دست آورد؛ به این صورت که  $V_y$  که تا این مرحله به دست آمد ثابت و به منظور تعیین  $S_a$  غیرالاستیک استفاده شود.

(ب) اگر شرط بالا مورد قبول نباشد، یعنی  $\mu$  به  $\mu_{target}$  نرسید و باید  $V_y$  جدید با استفاده از رابطه (۶) حاصل شود:

$$V_{y_{i+1}} = V_{y_i} \left( \frac{\mu}{\mu_{target}} \right)^{pow} \quad (6)$$

در رابطه (۶)  $pow$  توان،  $V_y$  برابر  $V_{y_i}$  اولیه و  $V_{y_{i+1}}$  برابر  $V_y$  می باشد که در این مرحله باید حاصل شود.

برای این رابطه نیاز به یک توان می باشد که این توان از طریق سعی و خطا حاصل می شود. یعنی باید با این توان بازی شود تا نسبت  $\frac{\mu}{\mu_{target}}$  قابل قبول باشد. به همین دلیل برای این توان تابع تعريف شده است تا وضعیتش در حالت شرطی مشخص شود. وقتی توان مناسب پیدا شد، مقاومت تسلیم جدید تعريف می شود و مجدداً تحلیل انجام گرفته و  $\mu$  جدید محاسبه می شود و مجدداً شرط بررسی می شود. این کار این قدر تکرار می شود تا شرط برقرار شود.

با استفاده از مراحل فوق، مقدار جابه جایی و شتاب در حالت غیرالاستیک با شکل پذیری ثابت برای یک پریود و یک نگاشت، حاصل شده است.

$$S_{dinelastic} = \Delta_{max} \quad (7)$$

OpenSEES با استفاده شد. همچنین برای ارتباط بین دو کد و به علت زیاد بودن تعداد نگاشتها و آنالیزهای مرتبط، در نرم افزار MATLAB یک حلقه تشکیل داده شد و لینک بین نرم افزارهای MATLAB و OpenSEES صورت گرفت. حلقه مورد نظر برای هر رکورد (۲۷۳ ایستگاه مختلف) و پریودهای ۱ تا ۵ ثانیه با گام زمانی ۱ ثانیه و همچنین تک پریود ۰/۵ ثانیه، تکرار گردید. در کد الاستیک مقدار لنگر تسلیم فتر  $M$  یک عدد بزرگ تعريف شد؛ به صورتی که هیچگاه وارد حوزه غیرخطی نشود. ولی در کد غیرالاستیک مقدار  $M$  به صورت یک متغیر تعريف شد که هر بار با توجه مقاومت تسلیم تغییر کند. مراحل مدل سازی سیستم تک درجه آزاد دو بعدی غیرالاستیک در حالت شکل پذیری ثابت به صورت زیر است:

- ۱ فرض پارامترهای جرم ( $M$ )، شکل پذیری هدف ( $\mu_{target}$ )، میرایی ( $\zeta$ )، پریود ( $T$ )، رکورد زلزله (EQ) و محاسبه سختی ( $K$ )
- ۲

$$K = \left( \frac{4\pi^2}{T^2} \right) \times M \quad (1)$$

- ۳ تحلیل سیستم تک درجه آزاد خطی و محاسبه برش پایه‌ی  $(V_E)$  الاستیک

$$V_E = M \times S_a \quad (2)$$

- ۴ تحلیل سیستم تک درجه آزاد غیرالاستیک به وسیله مقاومت تسلیم ( $V_y$ )

$$V_y = \frac{M \times S_a}{\mu_{target}} \quad (3)$$

- ۵ تعیین جایه جایی بیشینه ( $\Delta_{max}$ ) و جایه جایی نقطه تسلیم ( $\Delta_y$ ) از طریق خروجی تحلیل غیرالاستیک و در نهایت تعیین شکل پذیری ( $\mu$ )

$$\mu = \frac{\Delta_{max}}{\Delta_y} \quad (4)$$

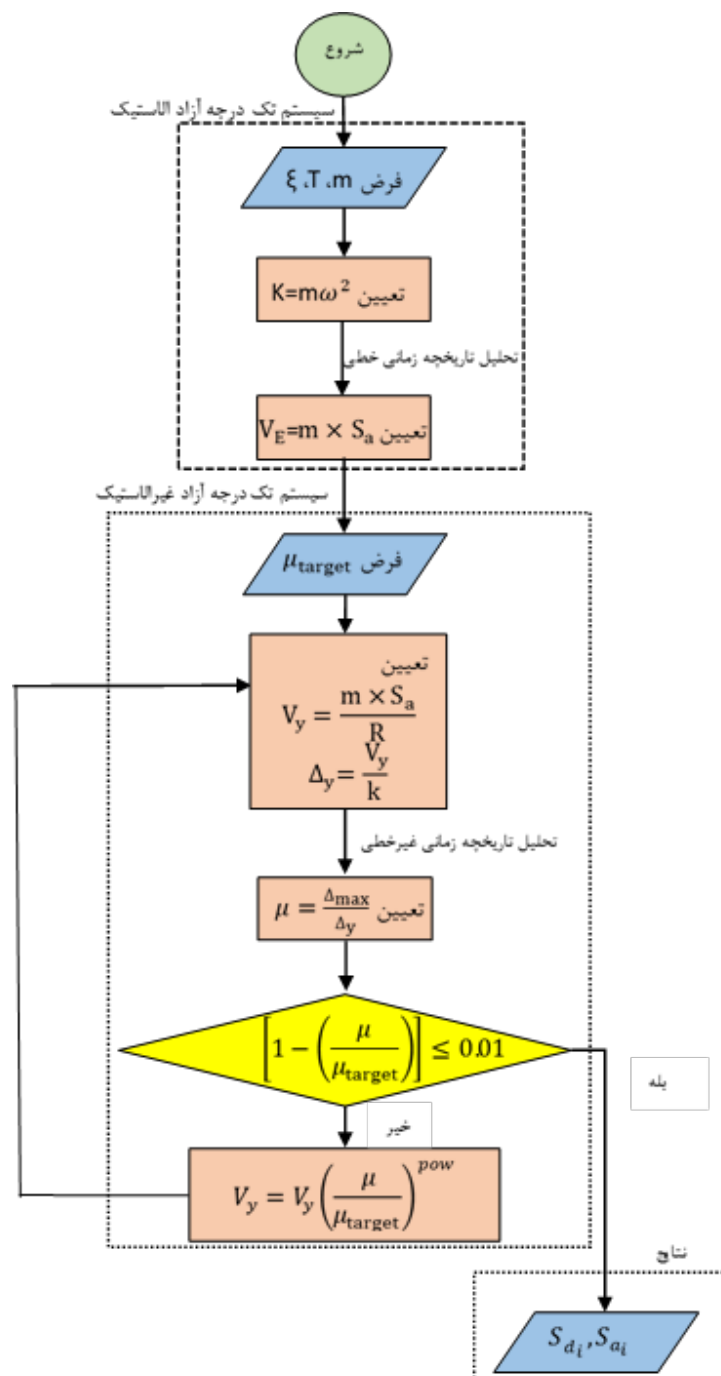
و تمامی این مراحل در آن قرار گرفت. پس از به دست آوردن خروجیها

کانتورهای  $S_d$  و  $S_a$  برای تمام پریودها و نگاشتهای مورد نظر رسم شدند.

شکل ۵ خلاصه مراحل انجام شده را در قالب فلوچارت نشان می

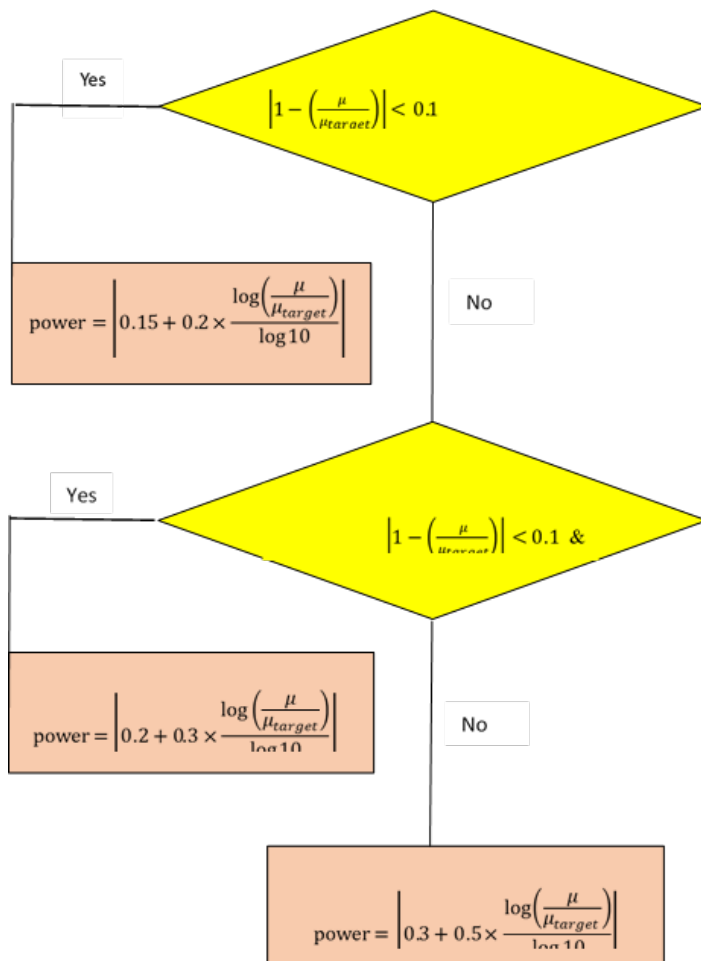
برای در نظر گرفتن سایر پریودها و ایستگاهها حلقه‌هایی تعریف شد دهد. همان‌طور که این شکل نشان می دهد، مراحل کار شامل دو بخش

$$S_{\text{inelastic}} = \frac{V_{y_{i+1}}}{M} \quad (8)$$



شکل ۵. فلوچارت مدل‌سازی سیستم تک‌درجه آزاد غیرالاستیک شکل‌بذیری ثابت

Fig. 5. Modeling flowchart of the inelastic constant-ductility SDOF



شکل ۶. فلوچارت توان مورد استفاده در الگوریتم مدل‌سازی

Fig. 6. The power algorithm flowchart to achieve target ductility

جهت  $X^1$  و جهت  $Y^2$  برای محورهای  $X$  و  $Y$  مشخص شده است که در واقع همان جهت  $X$  و  $Y$  را بر روی سطح زمین مشخص می‌کنند. به منظور سهولت در درک موقعیت ایستگاهها، ۲۱ ردیف در جهت  $X$  و ۱۳ ردیف در جهت  $Y$  مشخص شده است که ایستگاه‌ها بر روی این ردیفها قرار گرفته‌اند و برای توصیف موقعیت، به جای بیان شماره ایستگاه‌های مدنظر، شماره ردیف آنها در جهت  $X$  یا  $Y$  بیان شده است. محل مرکز زلزله در ردیف ۱۲ در جهت  $X$  می‌باشد. به منظور جلوگیری از افزایش صفحات مقاله، کانتورهای حالت الاستیک ارائه نشده است و صرفاً نتایج آنها در قالب جدول در انتهای حالت غیرالاستیک مقایسه شده است.

مدل‌سازی سیستم الاستیک و غیرالاستیک در نرم افزار می‌باشد.

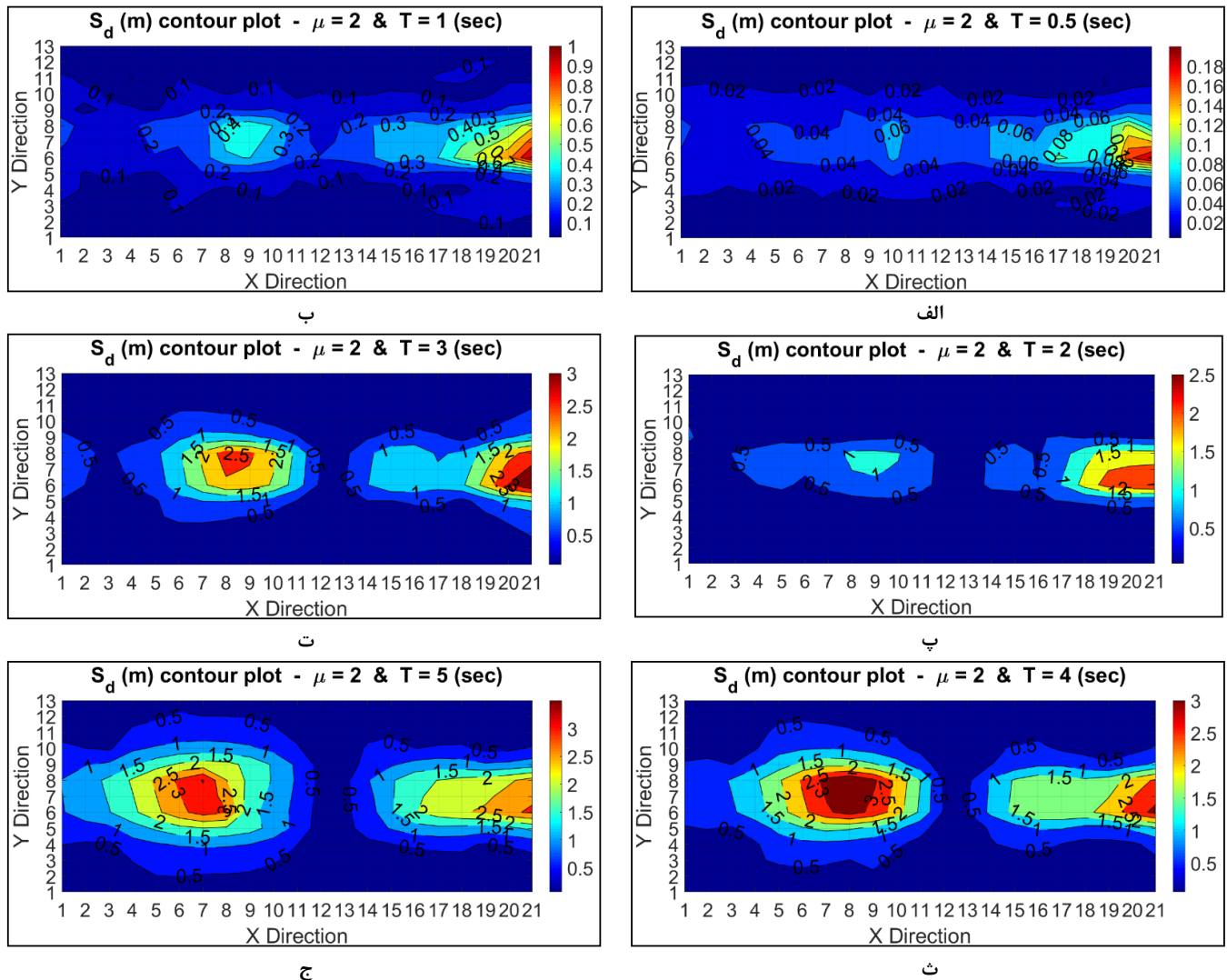
شکل ۶ قسمت توان مورد استفاده در رابطه (۶) را نشان می‌دهد. این توان به صورت تجربی تعیین شده است تا قدرت همگرایی خوبی داشته باشد و زودتر همگرا شود که در رسم طیف‌های مختلف عملکرد مناسبی داشته است. از آن جایی که این توان به صورت روابط شرطی تعریف شد، برای درک بهتر، فلوچارتی ارائه شد.

#### ۴- نتایج و بحث

برای بررسی نتایج حاصل از تحلیل‌ها، شکل‌هایی در قالب کانتورهای رنگی ارائه شدند که نمایشگر مقدار  $S_d$  و  $S_a$  می‌باشند. در این کانتورها

1 X Direction

2 Y Direction

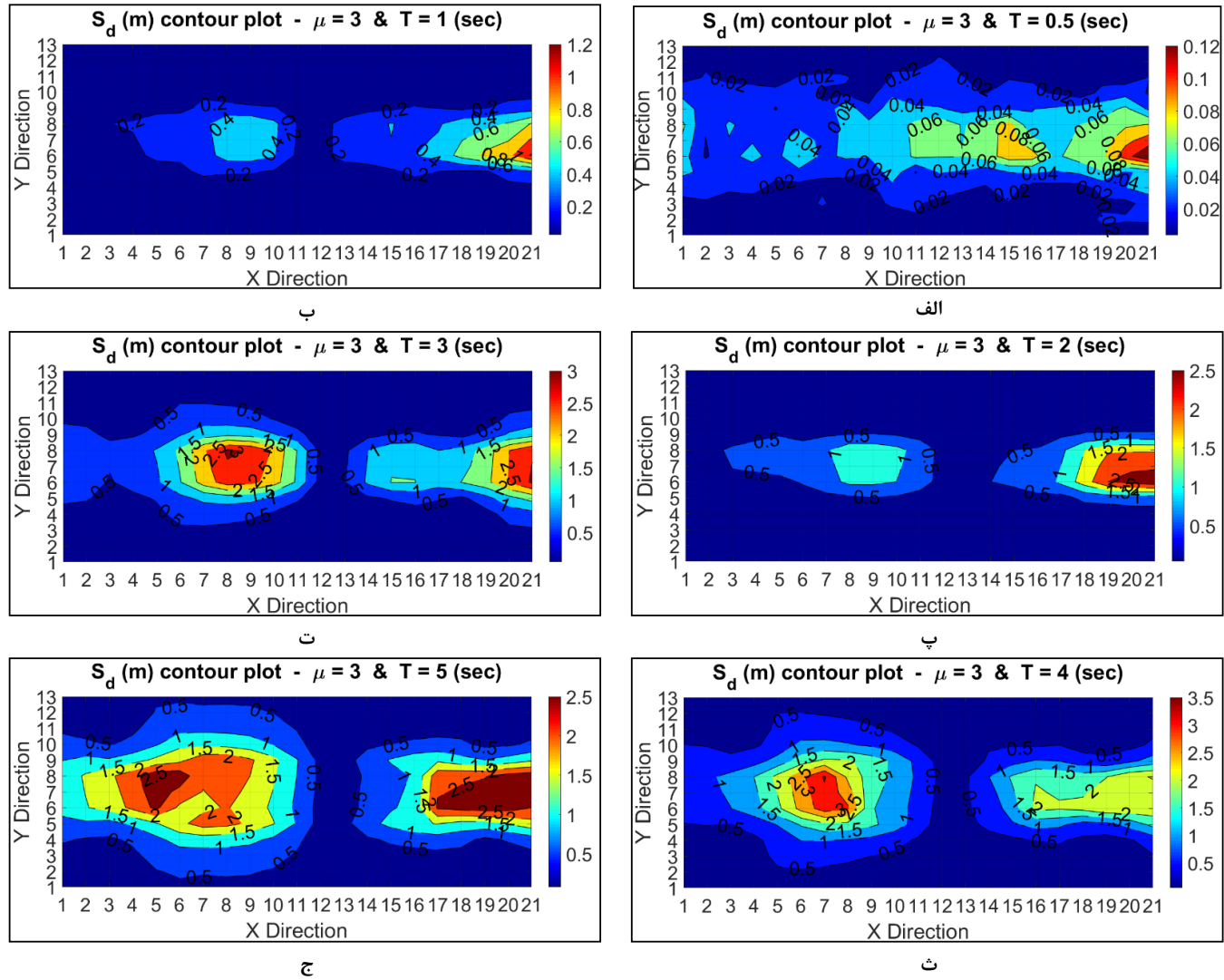


شکل ۷. (الف تا ج) کانتور  $S_d$  غیرالاستیک بر حسب (m) در حالت  $\mu = 2$  برای شتاب نگاشت های عمود بر گسل. الف) پریود ۱ ثانیه، ب) پریود ۰.۵ ثانیه، ج) پریود ۳ ثانیه، د) پریود ۲ ثانیه، ه) پریود ۵ ثانیه. (اعداد روی محور x و y نشان دهنده شماره ردیف هایی هستند که ایستگاه ها بر روی آن ها قرار می گیرند (شماره موقعیت))

Fig. 7. Inelastic spectral displacement ( $S_d$ ) contour for fault-normal records (for the case  $\mu=2$ )

$i = 1 - 1$ - بیشینه جابه جایی طیفی ( $S_d$ ) غیرالاستیک در حالت  $\mu = 2$  کانتورهای  $S_d$  غیرالاستیک بر حسب متر در حالت  $\mu = 2$  برای پریودهای ۱ تا ۵ ثانیه با گام ۱ ثانیه و همچنین تک پریود ۰/۵ ثانیه می باشد. برای حالت  $\mu = 2$ ، با افزایش پریود مقدار بیشینه افزایش یافت؛ البته مقدار بیشینه در پریود ۳ و ۴ ثانیه تغییری نکرد. تا قبل پریود ۴ ثانیه، مقادیر بیشینه در سمت راست مرکز زلزله به ویژه ردیف ۲۰ و ۲۱ درجه

$i = 4$ - بررسی بیشینه جابه جایی طیفی ( $S_d$ ) غیرالاستیک به منظور بررسی وضعیت  $S_d$  در حالت غیرالاستیک با شکل پذیری ثابت کانتورهای  $S_d$  برای دو حالت  $\mu = 2$  و  $\mu = 3$  ترسیم شدند. شکلهای ۷ و ۸ این کانتورها را نشان می دهند. هر یک از این شکل ها شامل ۶ کانتور می باشد که پریودهای ۱ تا ۵ ثانیه با گام ۱ ثانیه و همچنین تک پریود ۰/۵ ثانیه را شامل می شوند.



شکل ۸. (الف تا ج) کانتور  $S_d$  غیرالاستیک بر حسب (m) در حالت  $\mu = 3$  برای شتاب نگاشت های عمود بر گسل. (الف) پریود ۰/۰ ثانیه، (ب) پریود ۱ ثانیه، (پ) پریود ۲ ثانیه، (ت) پریود ۳ ثانیه، (ث) پریود ۴ ثانیه و (ج) پریود ۵ ثانیه. اعداد روی محور x و y نشان دهنده شماره ردیف هایی هستند که ایستگاه ها بر روی آن ها قرار می گیرند (شماره موقعیت)

Fig. 8. Inelastic spectral displacement ( $S_d$ ) contour for fault-normal records (for the case  $\mu=3$ )

$\mu = 2$  مشاهده شد این است که در حالت  $\mu = 2$  در پریود ۴ ثانیه مقدار بیشینه به سمت چپ مرکز زلزله منتقل شده بود؛ ولی در این حالت از پریود ۳ ثانیه این وضعیت اتفاق نداشت. همچنان در حالت  $\mu = 2$  بعد پریود ۴ ثانیه مقدار بیشینه افزایش یافت؛ اما در این حالت بعد پریود ۴ ثانیه مقدار بیشینه بیشینه کاهش یافت. همان طور که در شکل ۴ دیده می شود، مقدار بیشینه در پریود ۵ ثانیه به ۲/۵ کاهش یافت و محدوده پوشش اعدادی که کمتر از

X واقع شده است و بعد از آن به تدریج به سمت چپ مرکز زلزله به ویژه حوالی ردیف ۷ و ۸ در جهت X بیشتر شده است. بعد پریود ۴ ثانیه شکل کلی کانتورها ثابت ماندند و محدوده پوشش اعداد تغییر کرده است.

شکل ۸ کانتورهای  $S_d$  غیرالاستیک بر حسب متر با شکل پذیری  $\mu = 3$  برای پریودهای ۱ تا ۵ ثانیه با گام ۱ ثانیه و همچنان تک پریود ۰/۰ ثانیه را نشان می دهد. تفاوتی که در این حالت نسبت به حالت

جدول ۱. مقایسه  $S_d$  در سه حالت الاستیک، غیرالاستیک در حالت  $\mu=3$  و غیرالاستیک در حالت  $\mu=2$ Table 1. Comparison of  $S_d$  values for statuses of elastic,  $\mu=2$ , and  $\mu=3$ 

		$S_d$					
$\mu = 3$		$\mu = 2$		Elastic			
ردیف مقدار بیشینه در جهت X	مقدار بیشینه	ردیف مقدار بیشینه در جهت X	مقدار بیشینه	ردیف مقدار بیشینه در جهت X	مقدار بیشینه	پریود	
۲۱	۰/۱۲	۲۱	۰/۱	۲۱	۰/۱۲	۰/۵	
۲۱	۱/۲	۲۱	۱	۲۱.۱۸	۰/۸	۱	
۲۱-۱۹	۲/۵	۲۱	۲/۵	۲۱.۲۰	۲/۳	۲	
۲۱.۸	۳	۲۱-۲۰	۳	۲۱	۳	۳	
۷	۳/۵	۲۱.۹-۷	۳	۸	۳	۴	
۲۱-۱۷.۶-۵	۲/۵	۷	۳/۵	۸-۷	۳	۵	

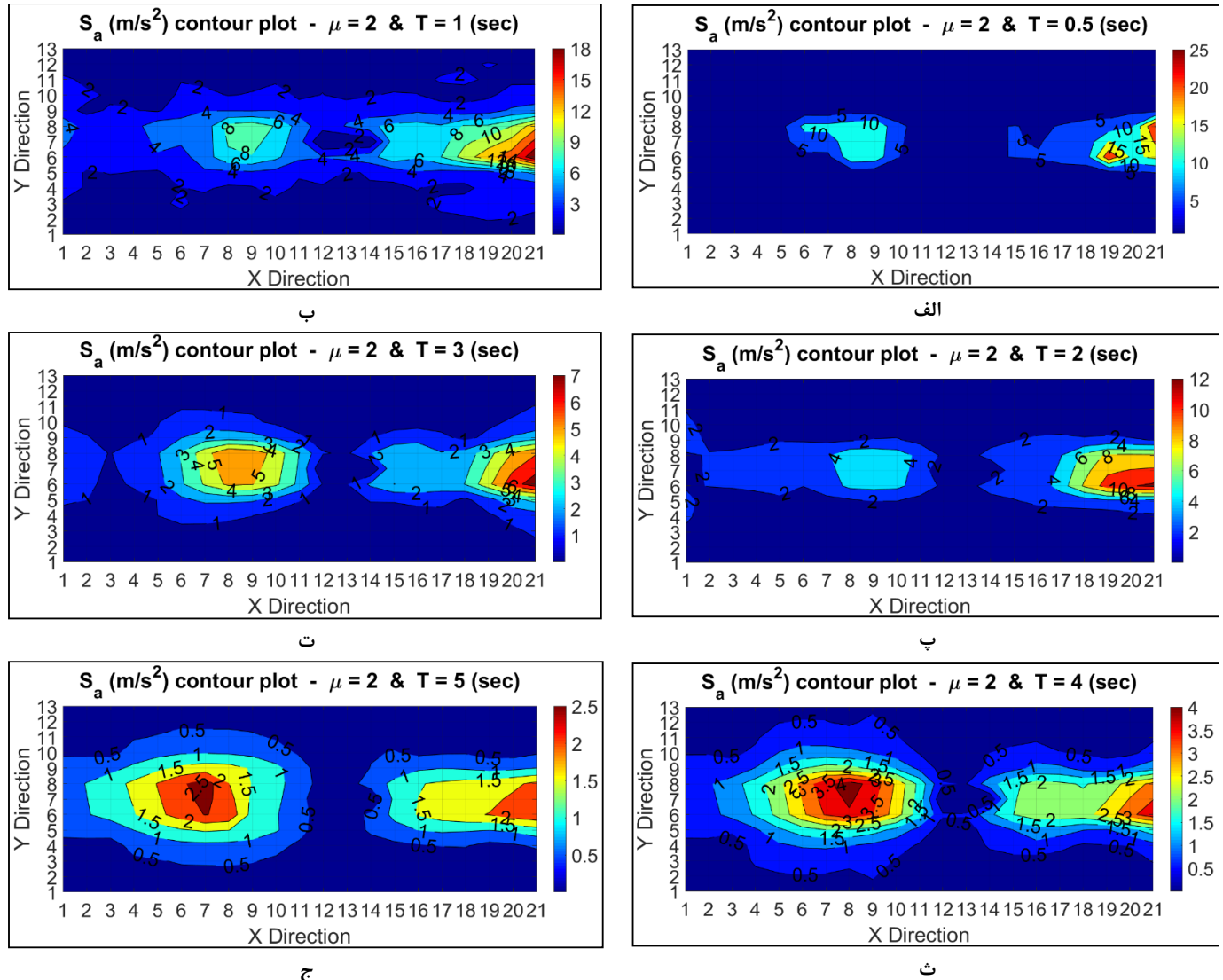
[۳۲]. به طور کلی دو حالت غیرخطی روند نزدیکی به حالت الاستیک دارند. بدین ترتیب می‌توان به وسیله یک تحلیل خطی که بسیار آسانتر است، روند حدودی پاسخهای بیشینه و موقعیتشان را برای غیرخطی حدس زد.

۴-۲- بررسی بیشینه شتاب طیفی ( $S_a$ ) در حالت غیرالاستیک به منظور بررسی وضعیت  $S_a$  در حالت غیرالاستیک با شکل پذیری ثابت کانتورهای  $S_a$  برای دو حالت  $\mu=2$  و  $\mu=3$  ترسیم شدند. شکلهای ۹ و ۱۰ این کانتورها را نشان می‌دهند. هر یک از این شکل‌ها شامل ۶ کانتور می‌باشد که پریودهای ۱ تا ۵ ثانیه با گام ۱ ثانیه و همچنین تک پریود  $5/8$  ثانیه را شامل می‌شوند.

۴-۱- بیشینه شتاب طیفی ( $S_a$ ) در حالت غیرالاستیک  $\mu=2$  شکل ۹ کانتورهای  $S_a$  غیرالاستیک با شکل پذیری  $\mu=2$  برای پریودهای ۱ تا ۵ ثانیه با گام ۱ ثانیه و همچنین تک پریود  $5/8$  ثانیه را نشان می‌دهد. برای حالت  $\mu=2$  راست مرکز زلزله به ویژه ردیف ۲۰ و ۲۱ در جهت X واقع شد و از پریود ۴ ثانیه نیمه‌ی چپ به ویژه ردیف ۷ و ۸ در جهت Y به تدریج بیشتر شد و با افزایش پریود مقدار  $S_a$  کاهش یافت. به جز پریود ۱ ثانیه، در سایر پریودها حد فاصل دو قسمت چپ و راست کمترین مقدار را نشان داد؛ ولی در پریود ۱ ثانیه این قسمت پیوستگی با سایر قسمتها دارد. این مسئله در پریود ۱ ثانیه  $S_d$  هم دیده شده است.

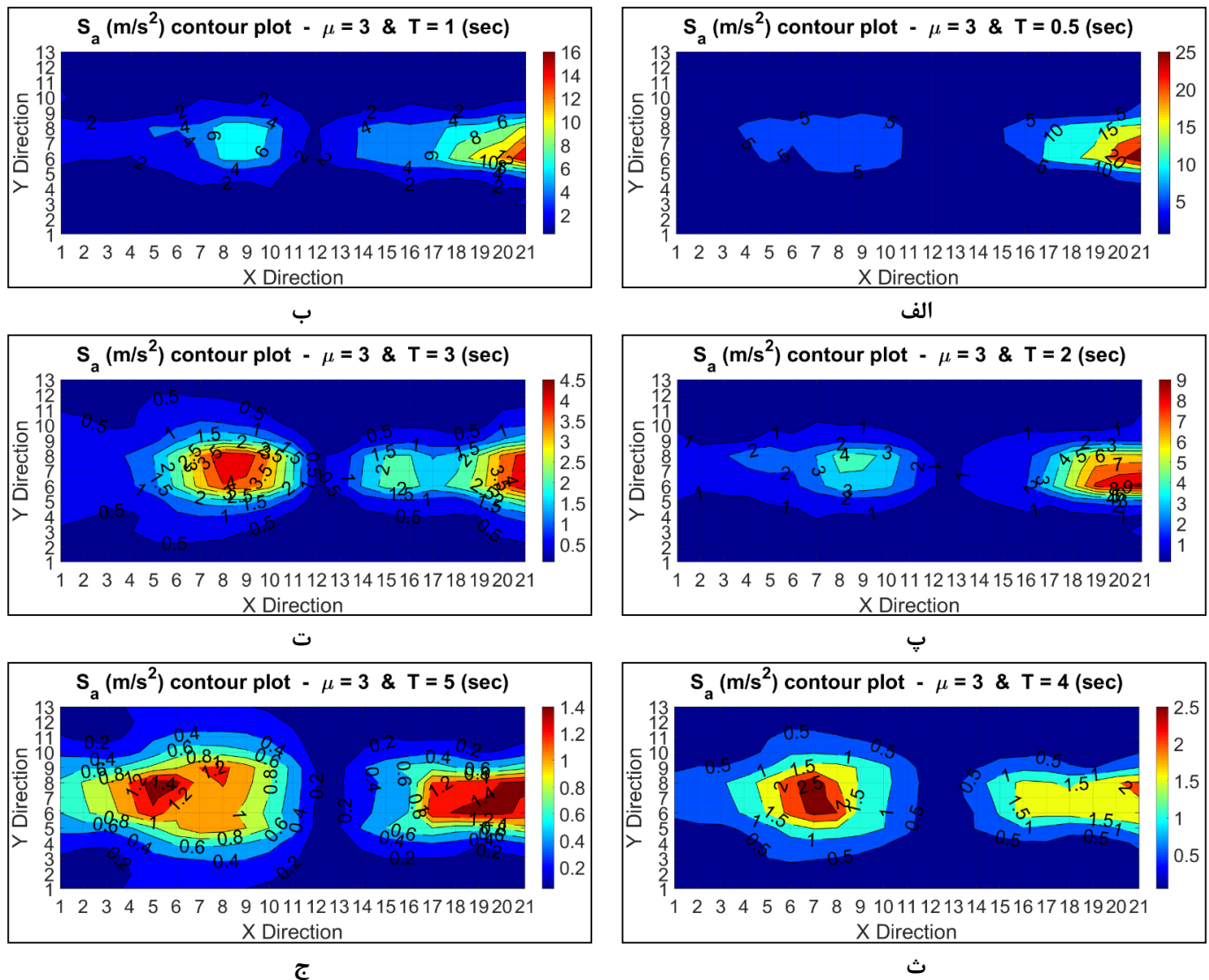
مقدار بیشینه هستند، افزایش یافت. همچنین در این پریود همزمان با سمت چپ مرکز زلزله، سمت راست مرکز زلزله نیز مقدار بیشینه را نشان می‌دهد. به طور کلی وضعیت متفاوتی برای این پریود در این  $\mu$  اتفاق افتاده است.

جدول ۱ مقادیر بیشینه و ردیف هایشان بر اساس اینکه بر روی کدام یک از ردیفهای جهت X قرار گرفته، مشخص می‌کند. طبق جدول ۱ در حالت الاستیک تا قبل پریود ۳ ثانیه مقدار بیشینه افزایش یافت؛ ولی بعد آن مقدار بیشینه بر روی عدد ۳، ثابت شد. در پریود ۳ ثانیه و پریودهای کمتر از آن مقدار بیشینه در سمت راست مرکز زلزله اتفاق افتاد؛ به ویژه ۲ ردیف ۲۰ و ۲۱ در جهت X و بعد پریود ۳ ثانیه محل مقدار بیشینه به سمت چپ مرکز زلزله به ویژه ردیفهای ۷ و ۸ در جهت X انتقال یافت. با بررسی هر سه حالت مشاهده شد با افزایش پریود مقدار  $S_d$  افزایش یافت؛ به جز در پریود ۵ ثانیه، هنگامی که  $\mu=3$  می‌باشد. موقعیت قرارگیری مقدار بیشینه در پریودهای پایین در هر سه حالت مشابه یکدیگر است؛ اما در پریودهای بالا کمی تفاوت ایجاد شده است که بیشتر پریود ۵ ثانیه در حالت  $\mu=3$  این نظم را بهم ریخته است. در بررسی‌های انجام شده و مطابق جدول ۱ مشخص شد که مقادیر کمینه و بیشینه  $S_d$  برای حالت خطی از  $12/0$  تا  $3/5$  برای حالت غیرخطی  $2=1$  از  $1/0$  تا  $1/12$  باشد که نشان می‌دهد در این سه حالت تفاوت چندانی با هم ندارند. زمانی  $S_d$  خطی با  $S_d$  غیرخطی زیاد تفاوت نداشته باشد یا به عبارتی با تعییر  $\mu$  پاسخهای یکسان داشته باشیم، equal displace-ment برقرار می‌شود. در اینجا می‌توان گفت این شرایط تقریباً برقرار است



شکل ۹. (الف تا ج) کانتور  $S_a$  غیرالاستیک بر حسب  $(m/s^2)$  در حالت  $\mu = 2$  برای شتابنگاشت های عمود بر گسل. (الف) پریود ۰/۵ ثانیه، (ب) پریود ۱ ثانیه، (پ) پریود ۲ ثانیه، (ت) پریود ۳ ثانیه، (ج) پریود ۴ ثانیه، (د) پریود ۵ ثانیه. (اعداد روی محور  $x$  و  $y$  نشان دهنده شماره ردیف هایی هستند که ایستگاه ها بر روی آن ها قرار می گیرند (شماره موقعیت))

Fig. 9. Inelastic spectral acceleration ( $S_a$ ) contour for fault-normal records (for the case  $\mu=2$ )



شکل ۱۰. (الف تا ج) کانتور غیرالاستیک بر حسب  $S_a$  (m/s<sup>2</sup>) در حالت  $\mu=3$  برای شتابنگاشت های عمود بر گسل. (الف) پریود ۰.۵ ثانیه، (ب) پریود ۱ ثانیه، (پ) پریود ۲ ثانیه، (ت) پریود ۳ ثانیه، (ج) پریود ۴ ثانیه. (اعداد روی محور x و y نشان دهنده شماره ردیف هایی هستند که آیستگاه ها بر روی آن ها قرار می گیرند (شماره موقعیت))

Fig. 10. Inelastic spectral displacement ( $S_d$ ) contour for fault-normal records (for the case  $\mu=3$ )

جدول ۲. مقایسه‌ی  $S_a$  دو بعدی در حالت الاستیک، حالت غیرالاستیک  $\mu=2$  و حالت غیرالاستیک  $\mu=3$ Table 2. Comparison of Sa values for statuses of elastic,  $\mu=2$ , and  $\mu=3$ 

$S_a$						
$\mu = 3$		$\mu = 2$		Elastic		
ردیف مقدار بیشینه در جهت X	مقدار بیشینه	ردیف مقدار بیشینه در جهت X	مقدار بیشینه	ردیف مقدار بیشینه در جهت X	مقدار بیشینه	پریود
۲۱	۲۵	۲۱	۲۵	۲۱	۲۲	۰/۵
۲۱	۱۶	۲۱	۱۸	۲۱	۳۰	۱
۲۱	۹	۲۱	۱۲	۲۱-۲۰	۲۲	۲
۲۱	۴/۵	۲۱	۷	۲۱	۱۴	۳
۷	۲/۵	۸	۴	۲۱.۸	۷	۴
۲۱-۱۸، ۶-۵	۱/۴	۸-۶	۲/۵	۲۱.۹-۶	۱/۵	۵

نژدیک‌تر است. برای  $\mu = 1$  بیشترین مقدار در پریود ۱ ثانیه، ولی برای  $\mu = 2$  و  $\mu = 3$  بیشترین مقدار در پریود ۰/۵ ثانیه اتفاق افتاده است. بجز پریود ۰/۵ ثانیه، در سایر پریودها با افزایش  $\mu$  مقدار  $S_a$  کاهش پیدا کرده است. با افزایش پریود مقدار بیشینه کاهش یافت؛ به جز در پریود ۱ ثانیه که این نظم را به هم ریخت. تا پریود ۴ ثانیه مقدار بیشینه در سمت راست مرکز زلزله و در محل ردیف ۲۱ در جهت X واقع شد. از پریود ۴ ثانیه علاوه بر ردیف ۲۱، حوالی ردیف ۸ در جهت X نیز مقدار بیشینه را نشان داد. در حالت غیرخطی معنای  $S_a$  مقاومتی می‌شود. وقتی به ازای یک  $S_d$  یک  $S_a$  به دست آید مشابه این است که برای یک  $\mu$  یک R محاسبه شده باشد؛ تفاوت‌شان در این است که  $R = \frac{F_{elastic}}{F_{yield}}$  و  $S_a = \frac{F_y}{m}$  باشد و لی از نظر کلیات شکل تفاوت اندکی دارند.

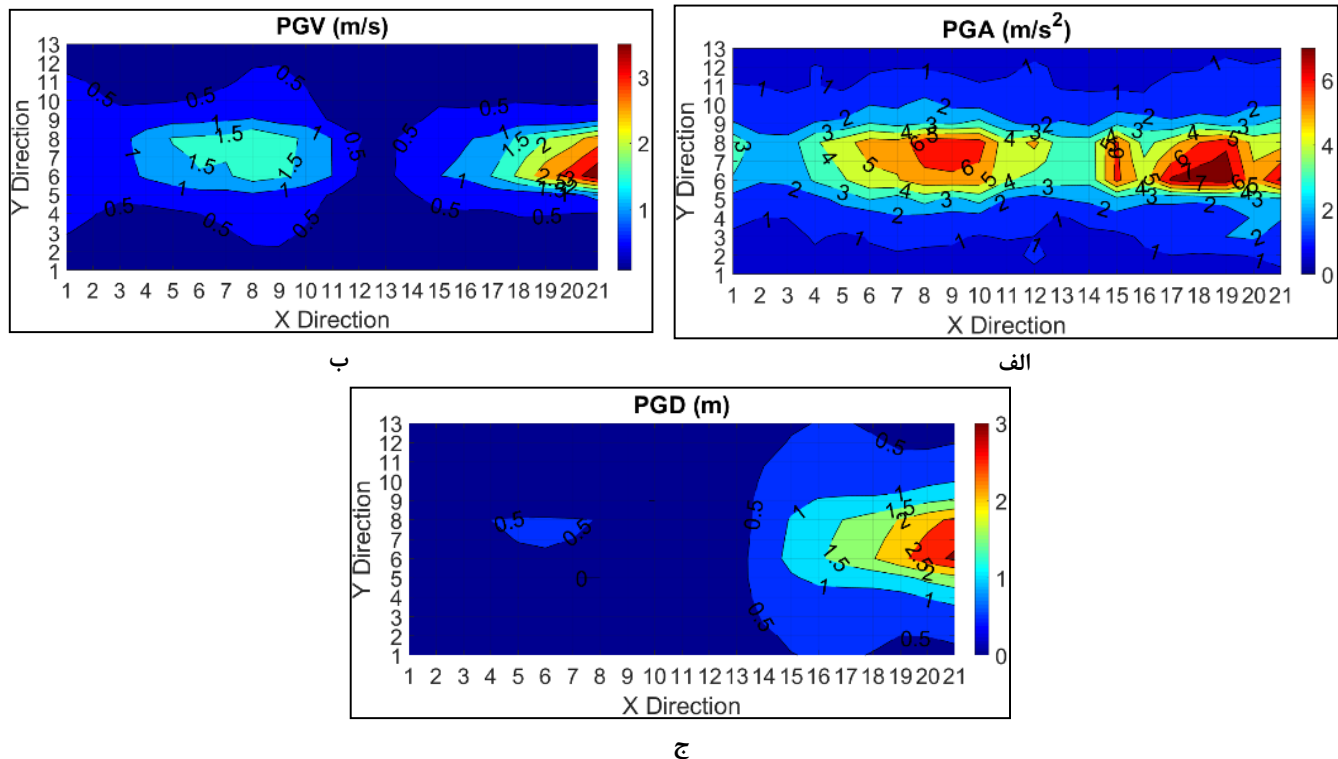
## ۴-۳- بررسی پارامترهای جنبش نیرومند زمین

شکل ۱۱-الف کانتور PGA را برای مؤلفه عمود بر گسل شتاب‌نگاشتها نشان می‌دهد. بیشترین مقدار PGA در قسمت ایستگاه‌هایی است که در ردیف ۱۷ تا ۲۰ محور افقی واقع شده‌اند و نشان‌دهنده بیشتر بودن شدت امواج زلزله در این نواحی است. مشاهده شد که مقدار بیشینه در نیمه سمت راست مرکز زلزله به بیشتر از  $\frac{m}{S^2}$  رسید و نیمه سمت چپ مرکز زلزله به مقدار  $\frac{m}{S^2}$  رسید.

شکل ۱۱-ب کانتور PGV برای نگاشتهای عمود بر گسل را نشان

۴-۲-۲- بیشینه شتاب طیفی ( $S_a$ ) در حالت غیرالاستیک  $\mu = 3$  شکل ۱۰ کانتورهای  $S_a$  غیرالاستیک با شکل پذیری  $\mu = 3$  برای پریودهای ۱ تا ۵ ثانیه با گام ۱ ثانیه و همچنین تک پریود ۰/۵ ثانیه را نشان میدهد. مانند حالت ۲، با افزایش پریود مقدار بیشینه کاهش یافت. تا قبل پریود ۴ ثانیه، مقدار بیشینه در سمت راست مرکز زلزله به ویژه ردیف ۲۱ در جهت X واقع شد؛ در پریود ۴ ثانیه در ردیف ۷ و در پریود ۵ ثانیه همزمان در هر دو سمت چپ و راست مرکز زلزله مقدار بیشینه اتفاق افتاد.

جدول ۲ مقدایر بیشینه و ردیفهایشان بر اساس اینکه بر روی کدام یک از ردیفهای جهت X قرار گرفتند، برای پریودهای ۱ تا ۵ ثانیه با گام ۱ ثانیه و همچنین تک پریود ۰/۵ ثانیه در سه حالت الاستیک و غیرالاستیک با  $\mu = 2$  و  $\mu = 3$  را نشان می‌دهد. طبق جدول ۲ در حالت الاستیک با افزایش پریود مقدار بیشینه  $S_a$  کاهش یافت، به جز در پریود ۱ ثانیه. تا پریود ۴ ثانیه مقدار بیشینه در سمت راست مرکز زلزله و در محل ردیف ۲۱ در جهت X واقع شد و از پریود ۴ ثانیه علاوه بر ردیف ۲۱، حوالی ردیف ۸ در جهت X نیز مقدار بیشینه در پریودهای پایین سه حالت مشابه و در پریودهای بالا تقریباً مشابه می‌باشد. مقدایر بیشینه  $S_a$  برای حالت الاستیک از  $۴/۵$  تا  $۳۰$  برای غیرخطی  $\mu = 2$  از  $۰/۵$  تا  $۲/۵$  برای حالت غیرخطی  $\mu = 3$  از  $۱/۴$  تا  $۲/۵$  می‌باشد که نشان می‌دهد با افزایش  $\mu$  بیشینه مقدار  $S_a$  کاهش می‌یابد. محل بیشینه مقدار برای پریودهای مختلف ثابت است. وضعیت برای  $\mu = 2$  و  $\mu = 3$  بهم



شکل ۱۱. کانتور پارامترهای جنبش نیرومند زمین

Fig. 11. Ground motion parameters contour

سمت راست و در حوالی شکست دوم مقادیر بیشتر شده است. همچنین در بررسی پارامترهای زمین مشاهده شد که موقعیت مقادیر بیشینه  $S_a$  و  $S_d$  با موقعیت مقادیر بیشینه پارامترهای زمین، در دو سمت مرکز زلزله مطابقت دارد. یعنی در همان نواحی که پاسخهای بیشینه مشاهده شد، شدت زلزله و مقدار جابه‌جایی زمین بیشتر بود.

شکل ۱۲ نمودارهای سه بعدی  $\frac{S_{d_n}}{S_{d_p}} - T - \theta$  را در حالت غیرالاستیک  $2 = \mu$  برای ایستگاههای تا شعاع ۵، ۱۵ و ۲۰ کیلومتر نشان می‌دهد. به منظور رسم این نمودارها نسبت پاسخها در فواصل مشخص شده تعیین گشت بدین صورت که مثلاً برای فاصله ۱۰ کیلومتر ایستگاههایی که از محل مرکز زلزله تا فاصله ۱۰ کیلومتری اطراف آن قرار می‌گیرند، جدا شدند. یکبار  $S_d$  تحت آنالیز با مؤلفه عمود بر گسل شتاب‌نگاشتها و بار دیگر  $S_d$  تحت آنالیز با مؤلفه موازی گسل شتاب‌نگاشتها به صورت مجزا به دست آمد و سپس نسبت آنها محاسبه شد. برای تعیین زوایا، سمت

می‌دهد. محل PGV بیشینه و مقدار بیشینه آن در ایستگاههای انتهایی سمت راست مرکز زلزله قرار گرفت و بیشترین مقدار آن به  $\frac{m}{s} \frac{3}{5}$  رسید. بیشترین مقدار در نیمه چپ مرکز به  $\frac{m}{s} \frac{1}{5}$  رسید و برخلاف کانتور PGA مقدار بیشینه در دو سمت مرکز زلزله نزدیک هم نشد.

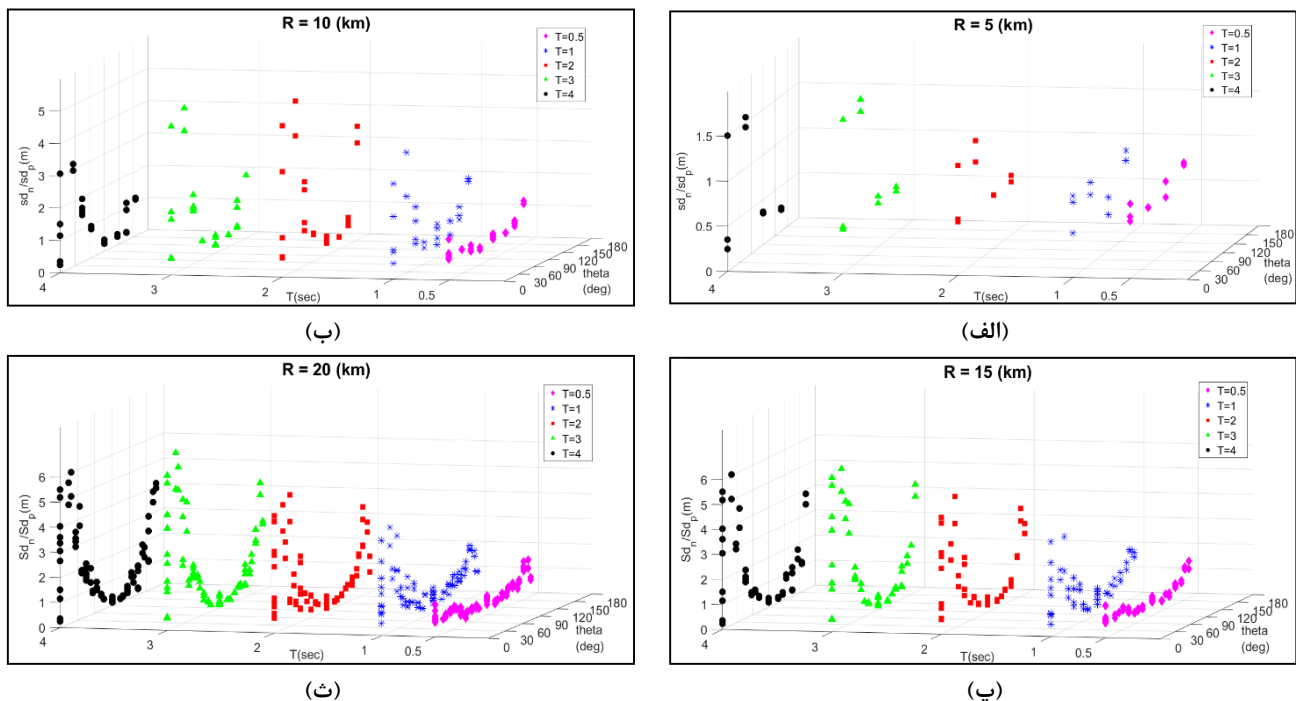
شکل ۱۱-پ کانتور PGD را برای مؤلفه عمود بر گسل شتاب‌نگاشتها نشان می‌دهد. مشاهده شد در ایستگاه ۲۶۶ مقدار بیشینه اتفاق افتاد و به مقدار ۳ متر رسید. بیشترین خسارت مربوط به این ایستگاه و نواحی اطراف آن می‌باشد.

جدول ۳ مقادیر بیشینه پارامترهای جنبش نیرومند زمین و ردیفهایشان بر اساس اینکه بر روی کدام یک از ردیفهای جهت X قرار گرفتند را نشان می‌دهد. با توجه به این جدول مشاهده می‌شود مقادیر بیشینه در ردیفهای انتهایی اتفاق می‌افتد. به نظر می‌رسد نوع گسلش این گسل و شکست دوم در موقعیت مقادیر بیشینه تأثیرگذاشته است؛ چرا که عمدتاً در ردیفهای انتهایی

### جدول ۳. بررسی کمی پارامترهای جنبش نیرومند زمین

Table 3. Quantitative investigation of ground motion parameters

ردیف	مقدار بیشینه	پارامترهای جنبش نیرومند زمین
۲۰-۱۷	۷	$PGA$
۲۱	۲/۵	$PGV$
۲۱	۳	$PGD$



شکل ۱۲. (الف) تا (ب) نمودارهای سه بعدی  $Sdn/Sdp - T - \theta$  در حالت  $\mu=2$  برای تا شعاع ۵ کیلومتر، (الف') برای تا شعاع ۱۰ کیلومتر، (ب') تا شعاع ۱۵ کیلومتر و (ب) تا شعاع ۲۰ کیلومتر.

Fig. 12. Three-dimensional  $Sdn/Sdp-T-\theta$  diagram (for the case  $\mu=2$ )

ردیف عمود بر مرکز زلزله هستند، زاویه  $90^\circ$  درجه دارند. به همین ترتیب سایر زوایا در حد فاصل این زوایا مشخص شده است. در این نمودارهای سه بعدی محور  $X$  زوایا را از صفر تا  $180^\circ$  بر حسب درجه، محور  $Y$  پریود را از ۱ تا ۴ ثانیه با گام ۱ ثانیه به همراه پریود  $5/5$  ثانیه و محور  $Z$  نسبت پاسخهای عمودی به افقی را نشان می دهد. مطابق شکل، لوزیهای صورتی پریود  $5/5$  ثانیه، ستاره های آبی پریود ۱ ثانیه، مربعهای قرمز پریود ۲ ثانیه، مثلثهای

چپ خط گسل به عنوان زاویه  $0^\circ$  صفر و سمت راست خط گسل به عنوان زاویه  $180^\circ$  درجه در نظر گرفته شده است. ردیف ۱۲ محور افقی که عمود بر محل مرکز زلزله می باشد، به عنوان زاویه  $90^\circ$  درجه در نظر گرفته شده است. بنابراین ایستگاههایی که بر روی خط گسل و در سمت چپ مرکز زلزله هستند زاویه هایی صفر درجه، ایستگاه هایی که بر روی خط گسل و در سمت راست مرکز زلزله هستند، زاویه  $180^\circ$  درجه و ایستگاههایی که بر روی

- بیشینه  $S_d$  در این پریود، در همان حوالی می باشد.
- در این پژوهش مشخص شد هر دو پارامتر  $R$  و  $\theta$  (فاصله از گسل و زاویه قرارگیری نسبت به گسل) مهم است. شاید دو ایستگاه دارای فاصله (R) یکسان باشند ولی به دلیل داشتن زاویه ( $\theta$ ) متفاوت، پاسخهای متفاوتی نشان می دهند. میزان و روند این اختلاف در قالب نمودارهایی ترسیم شد. مثلاً دیده شد ایستگاههایی که فاصله کمی از خط گسل داشتند ولی در منطقه جهت پذیری پیشرونده بودند، پاسخهای زیاد داشتند؛ ولی آنهایی که در منطقه ی جهت پذیری خنثی بودند، پاسخهای کمی داشتند.
- در نمودارهای نسبت پاسخ برای پریود ۰/۵ ثانیه ملاحظه شد که در ۹۰ درجه کمینه نبود باید مراقب بود سازه هایی که کوتاه هستند ممکن است در این ناحیه خیلی آسیب بینند؛ ولی در سازه های بلند به گفته سامرویل ناحیه خنثی است و زیاد آسیب نمی بینند، عملاً سازه بلند را می توان در ناحیه خنثی ساخت؛ ولی اگر کوتاه باشد، در بخش خنثی ساخته نشود.
- با افزایش پریود و فاصله گرفتن از مرکز زلزله نظم بین نقاطی که نسبت پاسخ عمود بر گسل به پاسخ موازی گسل را نشان میدهد بیشتر می شود.
- با فاصله گرفتن از مرکز زلزله نسبت پاسخ عمود بر گسل به پاسخ موازی گسل بیشتر شده است، زیرا در نزدیکی مرکز زلزله اثرات جابه جایی استاتیکی ماندگار در مؤلفه ی موازی گسل زیاد است و موجب شده است این مؤلفه مقدار زیادی داشته و نسبت پاسخ عمود به موازی کم شود.
- با آن که با حرکت بر روی گسل از غرب به شرق، فاصله ی عمودی تمام ایستگاهها از خط گسل یکسان است، ولی پاسخ دینامیکی SDOF در بعضی قسمتها نسبت به قسمتها دیگر بیشتر شده است. این نشان دهنده پدیده راستاگرایی است، اگر بتوان با روش هایی محل تقریبی مرکز زلزله را حدس زد. با استفاده از این نتایج می توان تشخیص داد در کدام نواحی سازه های کوتاه و در کدام نواحی سازه های بلند ساخته شود.
- در نتایج ارائه شده در این پژوهش محل مرکز زلزله تأثیرگذار نیست؛ یعنی اگر محل مرکز زلزله بر روی نقشه ایستگاهها نقطه ی دیگری باشد، تفاوت چندانی در نتایج ندارد. عواملی که در پاسخها تأثیرگذار بودند، شدت و پریود شتاب نگاشت ها بودند.
- کانتور پارامترهای زمین می تواند موقعیت خرابی های بیشتر را به صورت تقریبی مشخص کند. پیش از انجام تحلیل سازه ای محل خرابی های بیشتر با این کانتورها قابل تشخیص است.
- تأثیر جهت پذیری بر روی سازه های با پریود پایین کم (T کمتر)

سبز پریود ۳ ثانیه و دایره های مشکی پریود ۴ ثانیه را نشان می دهند. در جهایی که نسبت پاسخهای عمودی به موازی بیشتر است در واقع اثرات جهت پذیری خودش را بیشتر نشان داده است. زاویه ۹۰ درجه کمترین مقدار نسبتها را نشان می دهد و عمدهاً زاویه ۰ درجه که در جهت جهت پذیری پیشرونده واقع است، بیشترین مقدار را نشان می دهد. شاعع ۵ کیلومتر کمترین نسبت پاسخها را دارد و با افزایش فاصله مقدار نسبتها افزایش یافت. البته بین نسبت پاسخ در شاعع ۱۵ کیلومتر و شاعع ۲۰ کیلومتر تفاوت زیادی دیده نشد. تأثیر راستاگرایی موجب نامتقارن شدن الگوی تابش شد. همان طور که در زوایای صفر درجه و ۱۸۰ درجه مشاهده شد، این نسبت در زاویه راستاگرایی ۱۸۰ درجه (جهت پس رو) کمتر از زاویه راستاگرایی صفر درجه (جهت پیش رو) شده است. در شاعع ۵ کیلومتر و در پریودهای پایین نظم کمتری مشاهده شد و با افزایش فاصله از مرکز زلزله و افزایش پریود نظم بیشتری ایجاد شد. از آنجایی که موقعیت ایستگاههای بالای خط گسل و پایین خط گسل متقارن است و نوع خاک در همه نقاط یکسان است، فقط ۰ تا ۱۸۰ در نظر گرفته شد. در پریودهای پایین نظم کمتری برای نقاط مشاهده می شود؛ مخصوصاً دیده می شود که در زاویه ۹۰ درجه حالت کمینه اتفاق میافتد. در شاعع ۵ کیلومتر با افزایش  $\mu$  بزرگترین نسبت عمود و موازی افزایش می یابد؛ ولی در سایر شاععها این نسبت با افزایش  $\mu$  کاهش می یابد. حالت غیرالاستیک  $3 = \mu$  روند مشابهی با حالت  $= 2 \mu$  دارد. به منظور جلوگیری از تکرار و طولانی شدن صفحات مقاله از رائمه نمودارهای آن صرف نظر شده است.

## ۵- نتیجه گیری

در این تحقیق با استفاده از رکوردهای شبیه سازی شده حوزه نزدیک به بررسی رفتار سازه تک درجه آزاد غیرالاستیک با شکل پذیری ثابت پرداخته شده است و نتایج زیر حاصل شده است:

- با مقایسه ی  $S_d$  و  $S_a$  در حالتهای الاستیک و غیرالاستیک با  $2 = \mu$  و  $3 = \mu$  دیده شد که به طور کلی دو حالت غیرخطی روند نزدیکی به حالت الاستیک دارند. بدین ترتیب می توان با تقریب نسبتاً مناسبی به وسیله یک تحلیل خطی، روند حدودی پاسخهای بیشینه و موقعیت شان را برای غیرخطی حدس زد.
- با بررسی کانتورهای  $S_d$  و  $S_a$  مشخص شد که محل مقادیر بیشینه در کانتورهای  $S_d$  و  $S_a$  در پریود یکسان، تقریباً مشابه می باشد؛ یعنی با تعیین محل مقدار بیشینه برای  $S_d$  در یک پریود مشخص، مقدار

Performance of Soft Stories in Short Steel Structures and Replacement of Braces with Equivalent Moment Resisting Frame. Amirkabir Journal of Civil Engineering (Amirkabir) 2017.

[11] Madhu Girija H, Gupta VK. Scaling of constant-ductility residual displacement spectrum. *Earthquake Engineering & Structural Dynamics* 2020;49:215–33.

[12] Baéz JI, Miranda E. Amplification factors to estimate inelastic displacement demands for the design of structures in the near field. Proceedings of the 12th World Conference on Earthquake Engineering, 2000.

[13] MacRae GA, Morrow D V, Roeder CW. Near-fault ground motion effects on simple structures. *Journal of Structural Engineering* 2001;127:996–1004.

[14] Chopra AK, Chintanapakdee C. Comparing response of SDF systems to near-fault and far-fault earthquake motions in the context of spectral regions. *Earthquake Engineering & Structural Dynamics* 2001;30:1769–89.

[15] Mavroelidis GP, Dong G, Papageorgiou AS. Near-fault ground motions, and the response of elastic and inelastic single-degree-of-freedom (SDOF) systems. *Earthquake Engineering & Structural Dynamics* 2004;33:1023–49.

[16] Gillie JL, Rodriguez-Marek A, McDaniel C. Strength reduction factors for near-fault forward-directivity ground motions. *Engineering Structures* 2010;32:273–85.

[17] Wang F, Li HN, Yi TH. Energy spectra of constant ductility factors for orthogonal bidirectional earthquake excitations. *Advances in Structural Engineering* 2015;18:1887–99.

[18] Scott MH, Mason HB. Constant-ductility response spectra for sequential earthquake and tsunami loading. *Earthquake Engineering & Structural Dynamics* 2017;46:1549–54.

[19] De Francesco G. Constant-ductility inelastic displacement ratios for displacement-based seismic design of self-centering structures. *Earthquake Engineering & Structural Dynamics* 2019;48:188–209.

[20] Dong H, Han Q, Du X, Liu J. Constant ductility inelastic

است. تفاوت زیادی در مقدار پاسخ در زوایای مختلف و تقریباً فواصل مختلف دیده نشده است. اما در سازه‌های پریود بلند تفاوت مقدار پاسخ در زوایای مختلف مشهود است؛ به طوری که در پریود  $0.5/0$  ثانیه، شکل نمودار به صورت خط و در پریود  $4$  ثانیه، شکل نمودار به صورت سهمی دیده شده است.

## منابع

- [1] Somerville P, Graves R. Conditions that give rise to unusually large long period ground motions. *The Structural Design of Tall and Special Buildings* 1993;2:211–32.
- [2] Nicknam A, Barkhodari MA, Hamidi Jamnani H, Hosseini A. Compatible seismogram simulation at near source site using Multi-Taper Spectral Analysis approach (MTSA). *Journal of Vibroengineering* 2013;15.
- [3] Khaloo AR, Khosravi H, Hamidi Jamnani H. Nonlinear interstory drift contours for idealized forward directivity pulses using “modified fish-bone” models. *Advances in Structural Engineering* 2015;18:603–27.
- [4] Abrahamson N. Seismological aspects of near-fault ground motions. 5th Caltrans Seismic Research Workshop, 1998.
- [5] Heaton TH, Hall JF, Wald DJ, Halling MW. Response of high-rise and base-isolated buildings to a hypothetical Mw 7.0 blind thrust earthquake. *Science* 1995;267:206.
- [6] Somerville PG. Development of ground motion time histories for phase 2 of the FEMA/SAC steel project. SAC Joint Venture; 1997.
- [7] Liossatou E, Fardis MN. Near-fault effects on residual displacements of RC structures. *Earthquake Engineering & Structural Dynamics* 2016;45:1391–409.
- [8] ASCE-7. Minimum Design Loads and Associated Criteria for Buildings and Other Structures. ASCE/SEI 7-16; 2016.
- [9] Ghafory-Ashtiani M, Hosseini M. Post-Bam earthquake: recovery and reconstruction. *Natural Hazards* 2008;44:229–41.
- [10] Ebadi P, Maghsoudi A. Case Study on Seismic

- of America 2002;92:300–11.
- [27] Yagi Y, Kikuchi M. Source rupture process of the Kocaeli, Turkey, earthquake of August 17, 1999, obtained by joint inversion of near-field data and teleseismic data. *Geophysical Research Letters* 2000;27:1969–72.
- [28] Kojima K, Saotome Y, Takewaki I. Critical earthquake response of SDOF elastic-perfectly plastic model with viscous damping under double impulse as substitute of near-fault ground motion. *Journal of Structural and Construction Engineering* 2017;82. doi:10.3130/aijs.82.643.
- [29] Pourali N, Khosravi H, Dehestani M. An investigation of P-delta effect in conventional seismic design and direct displacement-based design using elasto-plastic SDOF systems. *Bulletin of Earthquake Engineering* 2019;17:313–36.
- [30] Hamidi H, Karbassi A, Lestuzzi P. Seismic response of RC buildings subjected to fling-step in the near-fault region. *Structural Concrete* 2020; 21(5).
- [31] McKenna F, Fenves GL, Scott MH. Opensees: Open system for earthquake engineering simulation. University of California, Berkeley, CA 2013.
- [32] Newmark NM, Hall WJ. Earthquake spectra and design: Earthquake Engineering Research Institute. Berkeley, California 1982.
- displacement ratios for the design of self-centering structures with flag-shaped model subjected to pulse-type ground motions. *Soil Dynamics and Earthquake Engineering* 2020;133:106143.
- [21] Nievas CI, Sullivan TJ. Accounting for directionality as a function of structural typology in performance-based earthquake engineering design. *Earthquake Engineering & Structural Dynamics* 2017;46:791–809.
- [22] Bradley BA, Baker JW. Ground motion directionality in the 2010–2011 Canterbury earthquakes. *Earthquake Engineering & Structural Dynamics* 2015;44:371–84.
- [23] Pinzón LA, Mánica MA, Pujades LG, Alva RE. Dynamic soil-structure interaction analyses considering directionality effects. *Soil Dynamics and Earthquake Engineering* 2020;130:106009.
- [24] Grant DN, Padilla D, Greening PD. Orientation dependence of earthquake ground motion and structural response. *Protection of Built Environment Against Earthquakes*, Springer; 2011, p. 57–73.
- [25] Hamidi H, Khosravi H, Soleimani R. Fling-step ground motions simulation using theoretical-based Green's function technique for structural analysis. *Soil Dynamics and Earthquake Engineering* 2018;115:232–45.
- [26] Sekiguchi H, Iwata T. Rupture process of the 1999 Kocaeli, Turkey, earthquake estimated from strong-motion waveforms. *Bulletin of the Seismological Society*

چگونه به این مقاله ارجاع دهیم

Sh. Monfaredi, H. Hamidi, H. Khosravi, *Influence of Inelastic Constant-Ductility SDOF Location versus Near-Fault Records, Amirkabir J. Civil Eng.*, 53(11) (2022) 4767-4786.

DOI: [10.22060/ceej.2020.18538.6894](https://doi.org/10.22060/ceej.2020.18538.6894)



